

声学譯丛之二

超声檢測

上海市物理学会声学工作委员会 主編

上海市科学技术編譯館

声学译丛之二
超声检测

上海市物理学会声学工作委员会主编

*

上海市科学技术编译馆出版
(上海南昌路59号)

新华书店上海发行所发行 各地新华书店经售
商务印书馆上海厂印刷

*

开本 787×1092 1/16 印张 4 11/16 字数 200,000
1962年8月第1版 1962年8月第1次印刷
印数 1—2,500

书 号：5005·41
定 价：0.95 元

(内部发行)

工

目 录

1. 超声气体分析仪	1
2. 超声流量計	3
3. 超声在工业上測量流量的可能性	6
4. 工业上的超声流量測量	11
5. 用脉冲式超声流量計測量煤焦油的流量	15
6. 脉冲式超声流量計	18
7. 流量計最新发展之一——超声流量計	22
8. 利用水声来測量河流流量	24
9. 連續粘度測量的新方法——超声粘度計一般原理	31
10. Y3B-58 型超声粘度計	41
11. 超声波濃度檢測仪	43
12. 超声金属液位計	47
13. 檢測液位和压差用的超声仪器	49
14. 超声液位記錄仪	54
15. 一种超声測量厚度方法	55
16. 超声探伤标准試块的发展	61
17. 应用超声探伤法获取焊縫横截面的可見象	69
18. 混凝土路面的超声无損檢驗	71
19. 混凝土中超声波脉冲的速度和衰減的測定	72
20. 奥氏体鋼晶粒大小的超声檢查	73

571/489/09

1. 超声气体分析仪

Michael Kniazuk, F. R. Preider

Instruments and Automation, 28, p. 1916 (1955) [英文]

引言

分析特殊气体可用的仪器有如 Pauling 氏氧气表, Lilly 氏氯气表及 Fowler 氏红外线分析仪。此类仪器都很敏感, 实际上能立刻有所反应, 但对于涉及测定呼吸系数的研究, 则所用仪器必须能测定氧和二氧化碳二种气体, 因而引起了经常校准的问题。热导式电桥亦适于用来测量呼吸气体中的氧和二氧化碳的百分数; 此法确是灵敏, 但操作极端严格。本文所描述的超声气体分析仪, 虽对个别气体并无特效, 但具有若干优点: 高度敏感性, 操纵简易, 工作稳定, 节约技术人员的时间。例如应用标准化学方法, 进行动物试验, 仅分析六十种单独气体需时 1 日, 试验时间需占 20 小时, 余为准备动物及其它试验手续。如用本文介绍的仪器一个工作人员极易在 8 小时内完成一切试验工作。

虽然此超声气体分析仪的初步设计是为了研究呼吸气体, 但由于适应面广和灵敏度高, 有可能供作许多其他用途, 如控制混合气体(而不变其固有的瞬时反应及 0~100% 的范围内的敏感性); 分析惰性混合气体; 试验不同流速下各种气体的吸收效能; 测定样气的均匀性以及气体中同位素浓度的相对变化等等。

利用声速分析混合气体并非新创。但文献中所描述的声学仪器中无一足够灵敏, 能探测呼吸气体中氧气浓度的 0.01% 级的变化; 这是测定试验动物基本新陈代谢速率的仪器的必要条件, 现已有一仪器, 可具有所需要的灵敏性。

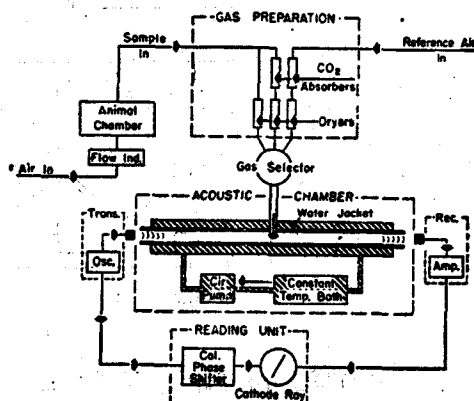
原 理

当一对装置相隔一定距离的发送和接收换能器中的声波在恒定频率下由发送器不断辐射时, 发送与接收器之间的声波就将存在一定的相位关系。若声波的传播介质变异, 则相位关系亦变, 因为波长是声速的函数。相位变化当与发送与接收器之间的波

数成正比 ($\Delta\phi = \omega\Delta t$ — 审校者注) 地放大。因此, 由引长声程或增高频率可以加强灵敏度。其有效限度决定于所采用的频率、温度、及电子与机械元件特性的稳定性。过高的频率将引起辐射换能器的有效性及相位的测量问题。长的声程需要极大容积的样气。测量相位元件的准确度决定频率与声程的最低值。

仪器说明

声室是一根光滑的金属管, 直径为 8 毫米, 长



Gas Preparation	气体制备
Sample in	样气进口
Reference Air in	参考空气进口
CO ₂ Absorbers	CO ₂ 吸收器
Dryer	干燥器
Animal Chamber	动物室
Flow Ind.	流量指示器
Air in	空气进口
Gas Selector	选气室
Acoustic Chamber	声室
Water Jacket	水套
Constant Temp. Bath	恒温器
Cir. Pump	循环泵
Trans.	发送组合
Osc.	振荡器
Rec.	接收组合
Amp.	放大器
Reading Unit	指示组合
Cathode Ray	阴极射管
Col. Phase Shifter	移相器

图 1 设备的设计方框图

100 厘米，周围装有水套，水在恒温下循环回流，以保持室内气体于固定温度之下(图 1)。被分析的气体由声管中央导入，而由两端流出。此种装置的流速消除了气流对声速的影响。

2 个压电晶体装置在声管中约距每端 3 厘米之处，充作发送与接收声能的换能器。所用的是 45 度 Z-切法 ADP (磷酸二氢镁) 晶体，其共振频率为 150.1 千赫。

振荡器(图 2)频率由晶体控制在 150.1 千赫上，

并调整到良好波形。驱动放大器的输出为 75~100 伏，供应发送晶体与放在校准的 360° 移相器(划分每波长为 1000 分度)之前的分相网络移相器的输出经放大后接到阴极射线管的 Y-偏转板上，同时接收晶体的输出经放大后接到 X-偏转板上。利用利萨如(Lissajous)图形的 45° 直线作为另点指示器；当测量相位差时，该直线改变，经用移相器调整，使示波器重现直线时读出移相器上变动分度，即得被测气体的含量。

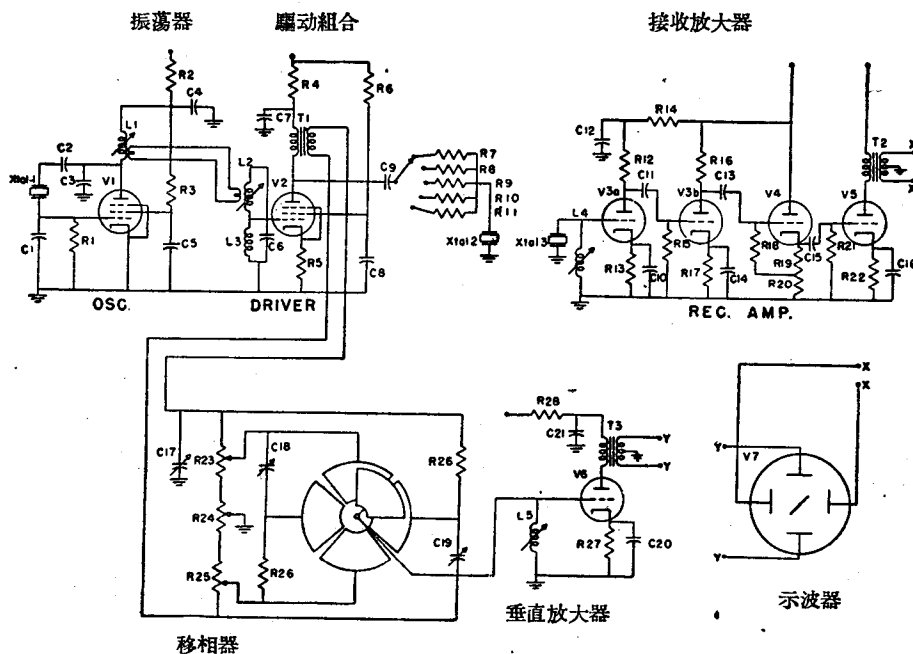


图 2 超声波分析仪基本电子线路

以每分钟 100 毫升的干燥大气流速通过声管时，其对氧气的灵敏度为 0.00360 %/分度。漂移在 5~10 分钟时间上小于一分度。在数日以上的长期内再生性是大于 ± 10 分度。

工作特点

为了计算理论上的相位变化，从理想气体公式中(不计比热的等值比率)发展了有关气体成分与相位变化的公式。

相位变化的计算和观察数值均列于附表中。根据所得数字极其相近，可知若能知相对声速之比，即可预计工作曲线。这样，实际上就简化了校准手续。若混合气体含有两种以上气体时，则该基本公式更为复杂，而比热比率就必须加以考虑。

为了确定仪器的氧气灵敏度，作了参考空气与

去氧空气的样气之间的相位差测量。在不同日期的反复试验中测得相位变化为 5.820 ± 0.001 波长或(以我们计算单位表示之) 5280 分度。此数以 20.946(去 CO₂ 的空气中的氧成分)除之，得每分度为 0.003599% 氧的灵敏度。

附表氧-氮混合气体中的相位变化的测得值(%)对计算值(%)

混合气体中的 氧%	测得值		计算值 %
	分度	%	
0	0	00.0	00.0
25	7.104	25.63	25.63
50	14.095	50.857	50.83
75	20.956	75.612	75.62
100	27.715	100.00	100.00

被分析的气体由声管中央导入，由两端流出，以

消除气流对声速的影响。晶控振荡器的 150.1 千赫发送信号加到阴极射线管中的垂直偏转片上。在声管另一端的接收信号加到水平偏转片上，利用校准的移相器来平衡这二信号的相位。灵敏度为 0.0036% 氧/分度。

振荡器产生 150.1 千赫信号—驱动器供应 100 伏给发送晶体(晶体^[2])与移相器(划分每波长为 1000 分度)。在声管另一端的晶体^[3]接收信号，经放大后接到阴极射线管中水平偏转片上。

(刘胎謨譯 郑冠雄审校)

2. 超声流量計

H. Dahlke W. Welkowitz

IRE International Convention Record, Pt. 6: 255-58 (1960) [英文]

前 言

大約从 1950 年以来，人們就已經致力于利用超声技术来测量液体流量。在以前所有的例子中，所使用的技术均以利用脉冲技术或相位技术来测量流量对声速的影响为基础[1~5]。这中间也包括第一个商品工业流量計在内^[6]。本文所述的流量計則依另一不同的原理来工作。在这种情况下，流动液体对横过液流的超声束造成偏移的现象被用来作为工作原理。这种技术連同近三年来在卡尔頓工业公司(Gulton Industries Inc.)所进行的試驗工作系由皮得曼首先提出的^[7]。这一系統在概念上及所需的金属材料上都很简单。因此具有可靠地应用于工业上的可能性。

工作原理

这一系統的工作原理，是一种声束偏移的原理。敏感系統是一种振幅的敏感系統。如图 1 所示，垂直发射一个频率为一兆赫的超声脉冲通过內有流动液体的管壁。这脉冲穿过液体并被管壁往返地反射。在每一反射之后，回波振幅均有减小，经过约十来次反射后，这連續的脉冲将因为吸收和折射而消失。每一脉冲的一部分能量穿过管壁，被位于管壁外，与发射换能器面对的接收换能器所检出。发射器的脉冲发出的时间是这样定的，那便是要在前一个脉冲的連續回波消失以后再发出一个新的脉冲。因此每一接收换能器上的电压便包含一串脉冲，每一脉冲都随有許多的回波。每一个这种回波被检出、放大及整流，最后变成一直流输出，从各自的波道中出去(这里共有二条波道——审校者注)。

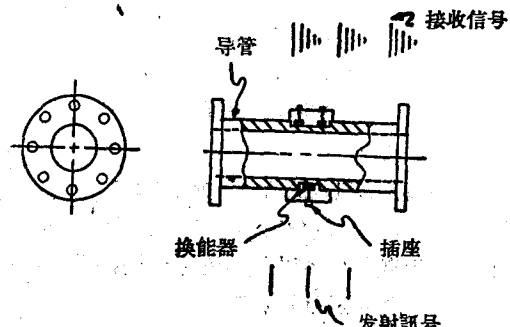


图 1 超声流量計示意图

一个超声場系由一种介质的机械振动所組成，在本文內这介质便是管道內的液体。因此如图 2 所示，这液体的运动或流动将引起声束相对于接收换能器的偏移，声束偏移的方向将根据声速向量与流速向量的合成結果而定。如果接收换能器具有恰当的尺寸，那么射到它們上面的声束部分将会改变，结

声束形状一有液流时 声束形状一无液流时

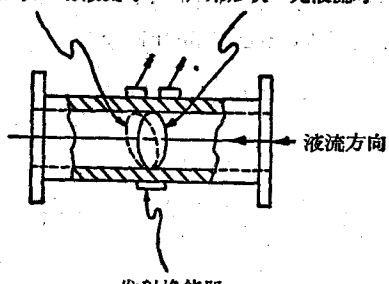


图 2 有液流时声束的偏移

果每个换能器的訊号输出幅度也便改变。灵敏度(输出电压与流率之比)是接收换能器与发射换能器的相对位置的函数。一个输出电压与接收晶体間相对位置的关系的典型曲綫图示于图 3。如果如图 2 所示，接收换能器系位于声束中心的两边，那么在有流量的情况下，接收换能器之一的输出将增加，而另一

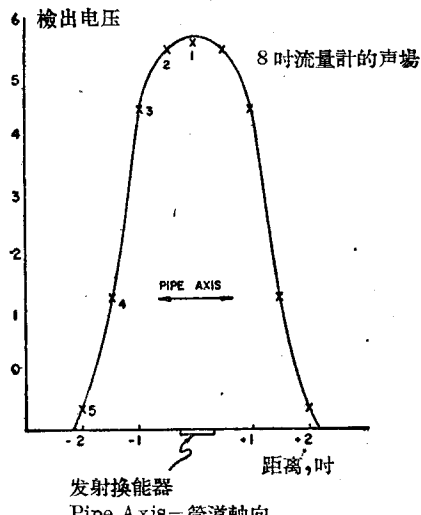


图3 轮出电压对接收位置的关系

个的則将减少。

理論上的訊号輪出的分析如下：

令声束偏移的角度为 α , 声束在接收换能器上的偏移距离为 L , 管中平均流速为 V_f , 管道内徑为 d , 液体內的声速为 V_s , 则

$$\operatorname{tg} \alpha = \frac{V_f}{V_s} \text{ 及 } \operatorname{tg} \alpha = \frac{L}{d},$$

或

$$L = d \frac{V_f}{V_s} \quad (1)$$

无流量时, 接收换能器的输出电压为:

$$V_{R1} = V_T \delta_1 K_0, \quad V_{R2} = V_T \delta_2 K_0 \quad (2)$$

其中 V_T 是发射换能器的激励电压, δ_1, δ_2 , 为包括声束的折射、衰減、接收换能器的灵敏度以及接收增益在内的一个因数。 K_0, K_1, K_2 为常数。

有流量时, 上述输出电压便变为

$$V_{R1} = V_T \delta_1 \left(K_0 - K_1 d \frac{V_f}{V_s} \right) \quad (3)$$

$$V_{R2} = V_T \delta_2 \left(K_0 + K_2 d \frac{V_f}{V_s} \right) \quad (4)$$

由于 $\frac{K_1}{K_0} \cdot d \cdot \frac{V_f}{V_s}$ 相对于 1 說來甚小, 所以

$$\frac{V_{R1}}{V_{R2}} \approx \frac{\delta_1}{\delta_2} \left(1 - \frac{K_1 + K_2}{K_0} \cdot d \cdot \frac{V_f}{V_s} \right) \quad (5)$$

用一个可以抑止零点时电压的指示表, 則它可以給出一輸出訊号:

$$E_0 = K \frac{\delta_1}{\delta_2} \cdot d \cdot \frac{V_f}{V_s} \quad (6)^*$$

[式中 K 为常数等于 $\frac{K_1 + K_2}{K_0}$ ——譯者]

这一結果上乘管道的断面積便可給出体积流量。

这一系統的一些特性, 可通过方程式(6)的考查

而认知。将两接收换能器的輸出相除, 就可見到最后輸出訊号与发射訊号的振幅无关。如果二晶体的衰減因数 δ_1 和 δ_2 对温度与时间的变化是相互成線性关系 ($\delta_1 = K \delta_2$), 那么輸出訊号与这变化无关。另一方面, 如果沒有任何更进一步的修正, 这一輸出則将与管徑 (d) 和声速 (V_s) 的变化有关。

如果发射器换能器通过一线圈相联, 而这线圈与换能器的支架电容是調諧的, 那么激励电压的大小将随着液体声阻抗 (ρ, V_s) 的不同而变化。它的整流后的量值是:

$$E_T = a \rho V_s, \quad (7)$$

a 为常数

假如方程式中(6)的电压 E_0 乘以方程式(7)中的电压 E_T , 則最后的結果将是:

$$E = E_0 E_T = K \frac{\delta_1}{\delta_2} d \frac{V_f}{V_s} a \rho V_s$$

或

$$E = a K d \frac{\delta_1}{\delta_2} \rho V_f \quad (8)$$

这里 ρ 为液体密度, a 为发射器脉冲的振幅。

輸出电压 E 不包含声速 V_s , 而仅包含液体流速与密度的乘积 ρV_f , 这就是单位時間流过的质量, 或称质量流量。

綫路說明

系統的方框图示于图4, 发射器包括一科耳毕茲(Colpitts)振蕩器, 其后跟随两个調諧放大級, 第一級放大器的帘栅电压由一脉冲寬度和重复频率可变的多諧振蕩器控制, 这样可使得发射器按照所需要的脉动情况开或关。第二級放大的輸出激励发射换能器。傳至换能器的脉冲頂峰的功率属于十分之几瓦的数量級。

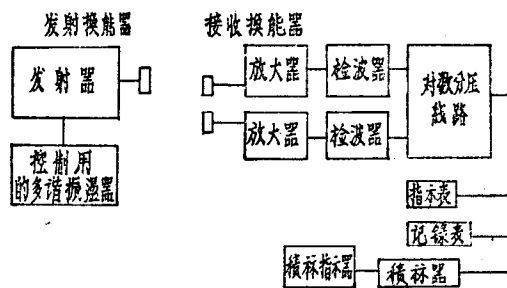


图4 線路的方框图

接收换能器联到典型的調諧放大器上, 那些放大器在稳定度上进行了很好的匹配。放大器的输出送到检波线路中, 然后依次轉到一个带有电压表作

指示的两极管式的对数分压器中。由于有效的范围很小，所以虽然采用了对数线路，但表的读数与流量仍然近乎一直线关系。一个记录式的电流表与这表在一起被运用。放大器的输出也可送至一积算器以得出总的液流体积。

管道和换能器

这种流量计的声学部分包括一段装有陶瓷换能器(探头)的管子。该单元的草图如图1所示。换能器由钛酸铅+锆酸铅压电陶瓷材料制成，磨成的厚度正好能使其谐振频率为一兆赫。换能器前面的型示于图5中。如方程式(6)所指出，这系统的输出

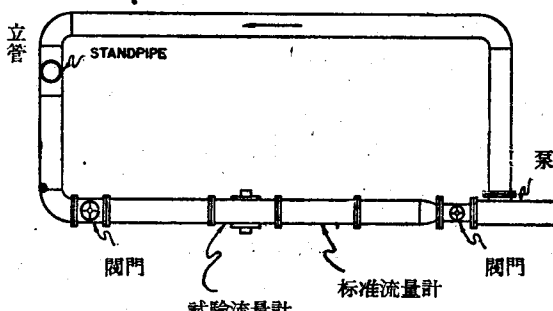


图 5 試驗装置圖

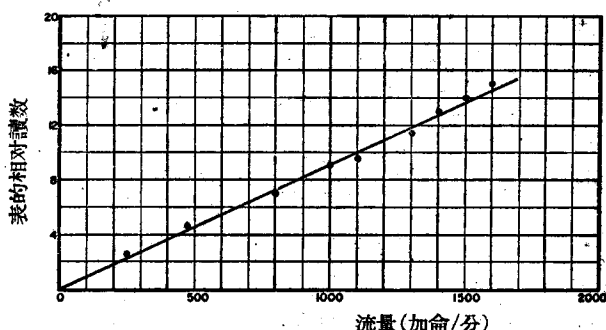


图 6 超声流量計的綫性試驗 1960·1.

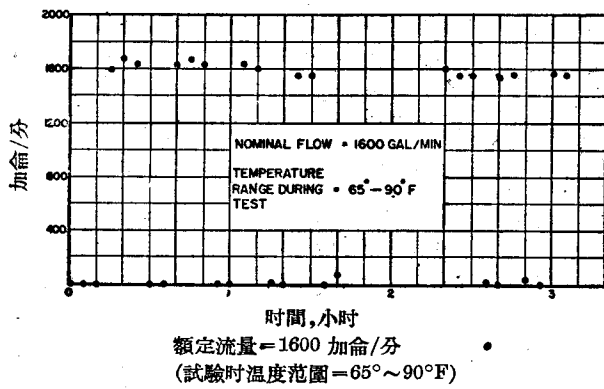


图 7 超声流量計的稳定性試驗 1960·1.

管壁的厚度做成管子材料中声波半波长的倍数。接收换能器位于从发射换能器发射出来的声束的两边。为了使它能方便地用于液流系统中，流量管子的长度可以做成与普通管阀一样的长度。

測量

本文所討論的流量試驗及測量均系在古尔頓(Gulton)流量試驗裝置中进行的。这試驗裝置可以允許0~1600 加侖/分的水流过8吋的試驗管道。該系統系利用赫尔塞(Hersey) PM型流量計作标准。这是一个校正到±1% 精度的仪表。試驗裝置的图出系与流量成綫性关系。一个綫性关系的試驗結果

示于图6。这試驗表明在整个試驗範圍內輸出是非常綫性的。以前在赫尔塞-斯培灵仪表公司(Hersey-Sparling Meter Co.)的試驗設備上所进行的試驗表明，該系統在达到3000 加侖/分的流量时仍維持綫性关系。这系統的灵敏度是这样的，即在流量为1600 加侖/分时，二接收换能器的輸出比約超过流量为零时 25%。該单元在3小时内稳定試驗的結果示于图7。由于在試驗过程中曾經數次地开、关水泵，所以这試驗同时是灵敏度稳定性与零点稳定性的試驗。如果这种流量計的額定範圍取3200 加侖/分，那么在这一过程中最大的不稳定性是滿刻度的±2.5% 左右。由于讀数是在校驗值的两边波动，所以在这个时期內其总的讀数誤差是远小于上述誤差的。如图5所示，古尔頓試驗裝置是一閉合的回路系統。在这些試驗中水系热至65。~90°F。

討論

一种声束偏移式的超声流量計的理論和試驗已如上述。各种曲線所表示的試驗結果，表明了这一系統由它的綫性和稳定性表現出来的性能。留下的主要問題是要研究零点和灵敏度二者的长期稳定性。其目的是在对这系統进行最初的校准后，可以在几个月的期間內仅用极少的調整，就可使它的讀数再現。

(吳安意譯 鄭冠雄審校)

参考文献

- [1] R. C. Swengel, W. B. Hess, S. K. Waldorf: Demonstration of the Principles of the Ultrasonic Flowmeter, *Electr. Engineering*, Vol. 73, No. 12, pp. 1082~1085, (1954).
- [2] K. S. Stull: Ultrasonic Phase Meter Measures Water Velocity, *Electronics*, Vol. 28, pp. 128~131, Sept. 1955.
- [3] H. P. Kalmus: Electronic Flowmeter System, *Rev. Scientific Instruments*, Vol. 25, pp. 201~206 March 1954.
- [4] Z. F. Herrick: Resume of Discussion Group on Ultrasonic Flowmeters, *IRE Transactions on Medical Electronics*, Vol. ME-6, No. 4, pp. 202~203, Dec. 1959.
- [5] D. L. Franklin, D. W. Baker, R. M. Ellis, R. F. Rushmer: A Pulsed Ultrasonic Flowmeter, *IRE Transactions on Medical Electronics*, Vol. ME-6, No. 4 pp. 204~206 Dec. 1959.
- [6] J. Kritz: Ultrasonic Flowmeter, *Instruments and Automation*, Vol. 28, pp. 1912~1913, Nov. 1953.
- [7] L. Petermann: Patent No. 2,874,568.

3. 超声在工业上测量流量的可能性

Martin Schweiger

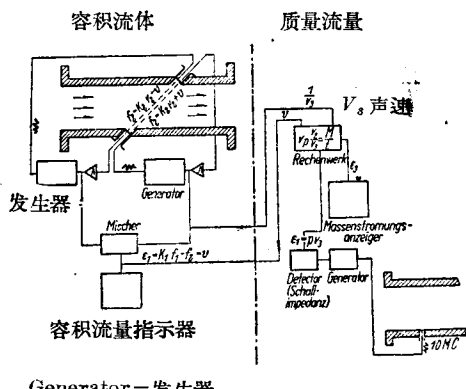
Zeitschrift für Messen, Steuern, Regeln, Jahrgang, 3 Heft 11: 466~470 (1960) [德文]

要准确地测量流量，其决定性的关键在于：不断反复试验，使现有的测量方法能适合于各种特殊的使用条件并发展新的测量方法。因此应用超声方法在最近已引起了普遍的注意。在这方面我们大概都知道过去所用的方法上的一些缺点。特别是差压式流量计的主要缺点就是一定要插入到管道内。在这里首先要提出的缺点现在可以用超声方法来避免，就只要把作为测量敏感元件的超声发送器装配在导管的外部，这种方式特别适用于测量腐蚀性介质。

下面首先要报导这方面的技术水平以及由EKB (民主德国国营 Bitterfeld 电化学联合企业) 实验室所进行的研究试制工作。

主要对二种原则上不相同的超声测量方法作了详细的讨论并互相作了比较。一种是脉冲^{[1][2]}法，即利用四个超声换能器作为流量敏感元件并以频率测量法作为流量测定的手段。作用原理可见图1。每两个相对的振子合成为一对，其中一个振子作为发送器，另一个作为接收器。一个发送器发出与流速同向的超声波，另一个则发出与流速反向的超声波。这里就二次利用一种作为“脉冲反馈系统”所熟知的测量声速的方法。这种方法的工作原理如下：

一个短高频电脉冲由一个脉冲发生器发送到换能器的石英晶体上。这个晶体就将电脉冲转换成为



Generator = 发生器

Mischer = 混合器

Rechenwerk = 计算装置

Massen-strömungsanzeiger = 质量流量指示器

Detector (Schallimpedanz) = 探测器(声阻抗)

图1 用四个超声换能器的方法通过声学密度的
测量这种方法还可以测定质量流量

一个短声脉冲，透过一个给定的距离为一个特性相同的晶体所接收。这样重新转换成的电脉冲，经整流后尽可能地使之成为一个完整的方波低频脉冲。然后利用这一脉冲反馈来触发脉冲发生器。依据这测量原理就可进行顺流与逆流二次测定来求得流量。由于顺流与逆流二个系统之间过渡时间的不同发生时差，这可以用拍频方法来检测。由于所出现

的拍频极小，因此在技术上就很难进行测量。所以这种方法很不经济。同时振子之间的距离又很难保持恒定，而且超声的反射也会引起显著干扰。

与此相反，还可以考虑的相位测量法^[4] 在测量技术上是容易实现的。然而声速变化对测量结果的影响和脉冲法相比较显然是麻烦的。其作用原理可参见图2。把二块石英晶体装配在导管外部的一定的距离中。利用混频管对由于流速的影响所引起的发送与接收信号之间的相位变化进行比较。但由于只有利用一种适当的所谓“双路法”才能使距离和声速变化，以及由于相位移所引起的频率变化得到消除，因此在两个石英晶体之间就利用一个马达驱动的开关，以便用10赫频率从发送到接收波道进行交替换向。这样，一回顺流发射，另一回逆流发射，最后把这两个方向中的对发送信号的相位移进行比较。所以时间 $\leq 10^{-1}$ 秒的短时声速波动和距离波动可以不受影响。

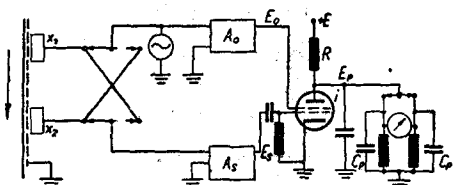


图2 用二个振子的发送和接收作用的交替
来实现一种分路法

用数学公式来表示测量值对讨论上述方法是很有启发性的。前面已经说过，脉冲法是以测量拍频为基础的。这可按下列方式来理解。顺流和逆流的过渡时间：

$$t_1 = \frac{d}{c+v} \quad \text{和} \quad t_2 = \frac{d}{c-v}$$

其相应的频率为：

$$f_1 = \frac{c+v}{d} \quad \text{和} \quad f_2 = \frac{c-v}{d}$$

因此我们就可以得到拍频

$$f_1 - f_2 = \frac{2av}{d} \quad (1)$$

至于相位测量法可从下列公式推导出来。这里需要测定的是直接过渡时间差 Δt ：

$$\Delta t = t_2 - t_1 = d \cdot \left(\frac{1}{c-v} - \frac{1}{c+v} \right) = c^3 \frac{2dv}{(1-v^2/c^2)}$$

$$\text{因为 } \frac{v^2}{c^2} \ll 1 \text{ 和 } \frac{\Delta p}{360} = \frac{\Delta t}{T} = \Delta tf,$$

故：

$$\Delta p = \frac{360 \cdot 2d \cdot f}{c^3} \quad (2)$$

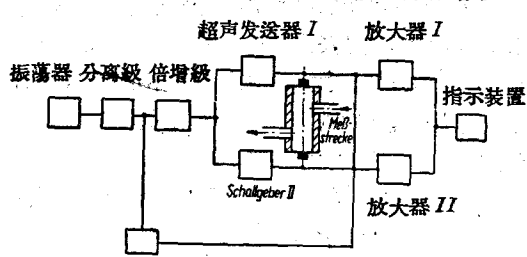
$$(\text{应为 } \Delta p = \frac{360 \cdot 2d \cdot f}{c^3} \text{ 审核者注})$$

第一个方程式虽然简单却仍然直接指出在发展这种原理的方法时会出现某些困难。量值不受声速影响的优点还必须通过克服大部分结构上的缺点来获得。显然灵敏度的提高是和发送器的距离成反比。这将使仪器结构上产生一些困难。假定发送器的距离 d 为10厘米，那末当水中的声速 c 为 1.5×10^5 厘米秒⁻¹ 时则声脉冲的过渡时间 $t < 10^{-4}$ 秒。因此必须以10兆赫以上的载波频率来进行工作，以便频带的宽度可实现相应脉冲传送。但由于介质中不同物体上所引起的超声反射使干扰的敏感程度有所增加。此外在处理测量射程 d 为常数时，也有误差。当然 d 可以保持很稳定。但因为用两个相互独立的系统来进行工作，这两个系统相互之间可能有出入，这样就会出现很大的误差。

虽然一般发展趋势是这样，可是我们由于上述理由放弃了这种测量原理而改走了只用两个超声换能器工作的相位测量技术路线。然而我们的方法的原理是与目前知道的有所不同。

研究试验的经过：

按照上述技术路线进行了实验室设计，其作用原理可参见图3。利用一个Clapp-Franklin振荡器来产生一个高度稳定的高频振荡。其频率为1.05兆赫。这一信号（振幅约为0.1伏）是在下面一个缓冲器级上加以放大。后面一级是B-类倍增器。这里经滤波后的2.1兆赫的信号这一电子管输送到两个推挽式工作的输出管上。但与普通的推挽电路有所不同，这个共同的振荡回路却分成两个单独回路。由此可使两个超声发送器达到局部的分离。在这些振荡回路中放了两个钛酸钡振子，其共振频率约为2.2兆赫。该两个振子是按照相位差180°的电路来激发的。此外振子还通过适当的耦合电容器直接和每一个放大器联结。脉冲发生器由外部电阻分压发出相位差180°的脉冲既加到振荡器的倍增级上



Meßstrecke = 测量射程
Schallgeber II = 超声发送器 II

图3 試驗模型的框图

又加到二个放大器上。这脉冲发生器是一个自由振荡的多谐振荡器。发射比率为 1:2，脉冲持续时间 ~500 微秒。

使用这种测量方法的条件是能使小的振幅范围内的声波不受干扰地传播，即声场中无散射现象出现。当一正脉冲使振荡器的倍增级导电时，一个大负脉冲就把二个接收放大器截止。为了避免通过脉冲发生器的外电阻（这实际上是一个栅漏电阻）的负反馈，可以把发射脉冲通过二极管加到放大器的输入端上。

在发送时间内二个超声波就横跨一段规定的所谓测量射程中的流动介质。用一个乙烯基塑料（Vinidur）圆片使振子和介质隔离。

脉冲持续时间大体上可以这样来规定：要使得在发送结束时第一个超声振荡正好在对面安装的振子前面。接着二个放大器导电，这样射程中的二串脉冲信号就可以被接收下来。由于顺流与逆流的传播关系，使这二串脉冲按公式(2)产生相位差，把这些移相的信号送到一个混相管(EQ 80 型)的控制栅上。这电子管同时可限制得完全不受振幅波动的影响，只要使它的偏压，从而所用的电路中的帘栅压保持稳定。这一相位差决定着偏极控制电流的变化，亦即简单地可作为用来指示的流速量度。可惜 EQ 80 在相位差 180° 以下时的工作是非线性的。因为二个信号有 180° 的相位差，因此就需要有一个移相器，以便能调整到电子管的特性曲线的线性范围内工作。这一移相器作为所谓分相器把相位旋转到 90°。

在作了简短的原理说明之后，对电路设计的理由进一步介绍如下：

曾采用了一种具有高度频率稳定的 Clapp-Franklin 振荡电路作为发生器的振荡器。因为按照公式(2)频率要直接影响测量结果，所以对频率的高度稳定性的要求是必要的。

频率的选择可以根据工作观点而定，就是利用尽可能大的声波波长来进行工作。这样仪器的干扰敏感性就可降低。工作频率的选择不仅如此，而且也要考虑到能由国营 Hermsdorf 陶瓷厂供应适合于这个频率范围的通用振子。

关于测量射程方面要说的是：测量射程的结构要考虑到它的长度能合乎几何的要求，以便能适当地增大脉冲持续时间。为了保证脉冲能正确无误地传递，这是必要的。因此，这样的测量射程应有 75 毫米的比较大的长度。此外，在它的装配中还有一

种困难，就是很难避免声的反射，因为二个振子是平行面对地安装的。振子的支架曾采用图 4 所示的方式，通过选择一个最佳的发射比例可以避免声反射。如果反射只是短时地在发送时间內出現，那么反射是可以避免的。为了满足这一条件，必须做到接收与发送时间之和相等于 $2d/c$ ：

$$T_s + T_e = \frac{2d}{c} \quad (3)$$

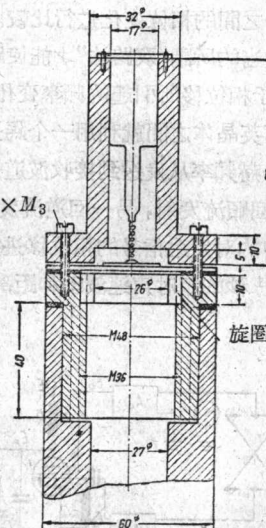


图 4 振子的支架装置

放大器是用一个频带设计得有相当宽度的二级谐振放大器。EQ 80 是用来作为测相管。在这管子上测得平均的直流电。

图 5~8 所示的是相位差的图象与其所属的校准曲线。这些照片是在一次校准试验中摄影的。当

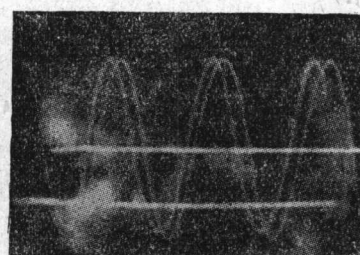


图 5

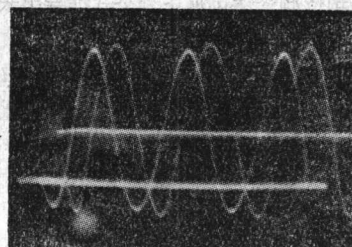


图 6 相差示波图

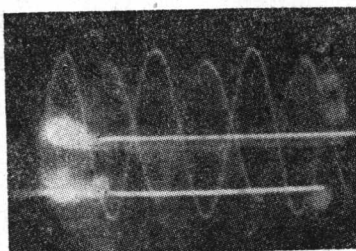
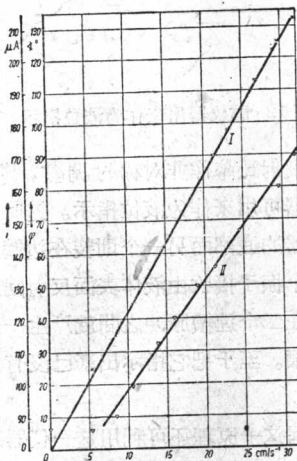


图 7



曲綫 I = 相位差的測得值与流速的关系
曲綫 II = 电流測得值与流速的关系

图 8 校准图

时进行的测量流速为 0~30/秒。这样首先就可证实所述原理的正确性。前面已經說过，这一超声测量方法的优点是极为明显的。由于测量探头（钛酸鋇振子）和介质并不接触，因此这一方法正好能运用于腐蚀性介质的测量。本文所述的测量装置单就工作安全而論應該远胜于其他超声方法。

若从公式(2)中可能出現的誤差根源來討論，則可得下面的分析：要是由于热膨胀和裝置上的困难而允許有 1 毫米的距离变化(对本身來說这一值已經很高)，这样在所应用的测量射程上就可能引起一个 1% 的誤差。

所用的振蕩器能保持有一个至少为 10^{-3} 的频率常数，因此由于频率所引起的誤差也同样是在 1% 以下。

因为超声发生器的輸出級和放大器是用同样的电路元件(相同的温度系数)所构成。所以在温度升高时电路元件的变化从而振蕩回路的解諧作用的百分比都是相同而不致产生相位誤差。

放大器的非对称结构决定仪器的常数 K ，它即使利用具有不同符号的温度系数的电路元件时变化

很小，而这种变化在任何情况下可以用移相器的調整得到平衡。关于振子直接的或是由輸出管功率波动所决定的不均匀的发热問題由于利用脉冲技术之故，无需討論。

反射作用对测量結果的影响可用条件(3)來說明。多諧振蕩器的频率常数約為 5%。因此条件(3)也只保持 5%。由此和由于无法控制的間歇振蕩現象所引起的 10% 的接收时差，正說明了测量值的杂散情况。

在公式(2)中所出現的多参数影响这一方法并不受到限制。它們可以按照图 9 裝上各个不同的接头和与此有关的对各种测量范围的灵敏度抑制作用加以避免。这样的裝置法又提供了一个重要的优点。当仪器在工作时首先調整到不灵敏的範圍上，并确定流速的近似值。然后調整到最灵敏的範圍內，这样就可以很大的精度測得 4ϕ 值。

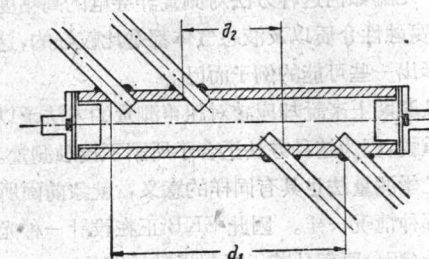


图 9 用不同的接头装置来调节灵敏度

关于理論与实验的基础要談的到此为止。因为目前我們对这种方法还没有現場工作经验，所以最后还想提一下对这种化費較貴的方法来代替现有的方法還沒有这样要求。

但是在这一关系中應該指出，如能完成一种可以直接受质量流量的方法的話，那末这是一种完全可以競爭的测量原理。这一試驗应作进一步的研究。

这可以下列方式进行：首先是用声速测量法(类似脉冲反馈系統)来确定脉冲的寬度。在图 10 和图 11 中二个脉冲高度的距离是相当于流速，而脉冲寬度相当于声速。由于公式(2)中的“ c^2 ”还要有一个第二个有关声速的說明。这可以通过测量辐射阻抗的方法来测得。因为在辐射阻抗中也有密度出現，因此根据相当的电子乘法，其测量結果直接和质量成正比。

但是将上述的方式投入現場使用从目前来看在一些特殊的情况下还是值得的，这些情况就是当所有其它方法，特別是当电磁法(Altoflux)也不能应

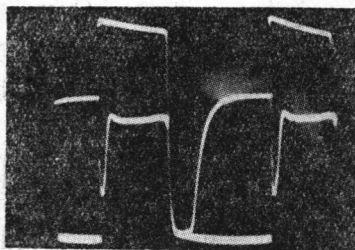


图 10 EQ 80 上的输出

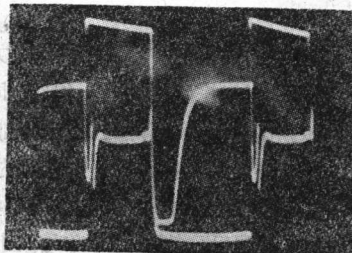


图 11 录入图象的发射脉冲

用时。无论如何这种方法对测量非导电的高粘度流体,强腐蚀性介质以及液态气体都是比较好的,这里只是举出一些可能的例子而已。

从原则上来说却应该对超声测量的方法予以较大的重视,因为这种方法适合于所谓不接触测量。

光学测量法也具有同样的意义,就象前面所提到的那种情况一样。因此 EKB 正在设计一种光学密度计(测量原理是基于折射指数的测量)。

这一方法在任何情况下可和超声方法相配合。

最后,对这种方法还要指出一些其它的用途(图 12)。

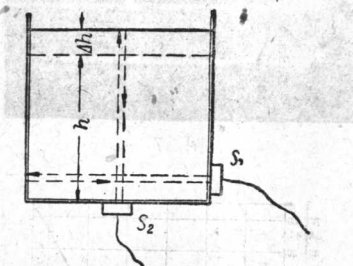


图 12 该仪器用来作为液位指示

要是把发射比率作非对称的调整,譬如 1:10,那末这一仪器可用来作为液位指示。这时就把一个振子装在容器的底部而另一个则装在边壁。在接收的时间内一个振子接收由液体表面反射回来的超声脉冲讯号。在二个连续脉冲之间就产生一个作为液位量度的拍频。至于把它指示出来已没有什么困难了。

此外根据这一原理还可利用这一仪器来进行材料探测。因此,按照相应的装备就有可能把这仪器作为多用途测量仪器应用。

(孙介铭译 郑冠雄审校)

参 考 文 献

- [1] Kritz Jacke: *Instruments and Automation*. Vol. 28. Nov. 1955, S. 1912~1913 Ultrasonic Flowmeter.
- [2] Knapp, C.: *Voith Forschung und Konstruktion*, Heft 3, August 1958, Geschwindigkeits- und Mengenmessung stromender Fluessigkeiten mittels Ultralschall.
- [3] Prospekt der Firma Fischer und Porter.
- [4] Kamlmus, H. P.: *Review Scientific Instruments*. Vol. 25 Nr. 3, March 1954.

4. 工业上的超声流量测量

Fischbacher, R. E.

Automation Progress 5, 2, 40~42; 56~57 (1960) [英文]

在程序工业上，流量是一个必需测量的较重要な参数。从目前常用流量計品种繁多这一点来看，可知流量测量不是一个单纯的问题，而是包含许多极其分歧的问题的一个综合性的問題，而这种分歧多半还是由于现有方法的局限性引起的。

理想的流量計，应该不受环境条件和流体性质的影响。精确度不应随温度、压力或密度而改变。管子的构形，以及管路中閥門的設置，都不应引起任何影响。粘滞度的变化也不应使仪器的性能改变。腐蚀性流体、浮粒或纤维、都不应对仪器有所影响。最后，理想的流量計测量容积流量，最好是测量质量流量时，其誤差应小于1%，必要时，应小于0.1%。

現有的流量計，大体上还能具备一些上述条件，但不能同时达到全部要求。孔板式流量計，虽然多少还要受粘滞度的影响，但可能是工业方面用得最广泛的一种。实际上，这种流量計，结构简单，从应用范围来看，它已达到高度发展的阶段。在适当的使用条件和细心维护下，这种流量計精确度可达1%，这对大多数用途来说，也足够了。其他各种压差式流量計（如皮托管式、文豪里式等等），也都具有相同的特性。可变面积式流量計，采用锥削式管子，并在管子里装着一根能往上升的閥杆。这种流量計也受粘滞度的限制，但在粘滞度系数相当恒定的情况下，精确度可达0.5%。旋叶式流量計，目前正逐步向更高的精确度发展。这种流量計，用在相当洁净的流体中时，准确度据说已远远超过0.1%。最近，又已有电磁流量計可以应用。这种流量計以流体的电导率为依据，实际上完全与各种外在参数无关。

以上所举的各种流量計，只有最后一种是非收縮式的。也就是说，这种流量計，測流部分的管内壁与其余部分的相同，沒有节流作用，因此避免了压头的损失，而且在需要清除管壁上的沉淀物时，便于疏通。这种流量計不会因流体中所含的、足以妨碍机动部件的悬浮粒子而引起阻塞。

此外，非收縮式流量計的另一种构造技术，以利用流动液体中超声波的傳播为基础。在英国，尤其

在美国，已經設計出来各种超声流量計，供各方面使用，但其中大多数仍停留在实验室阶段，即使有一部分已經脱离了实验室阶段，也只能适用于高速液流方面。由于液体中的声速是测量的主要依据，它一般在5000呎/秒左右的范围内，因此，显而易见，流速越低，则要求有越精密的测量技术。当流速为100呎/秒左右时，则测量工作比在5呎/秒流速时简单得多，5呎/秒的流速在工业生产过程中是比较普通的。到目前为止，工业上用的超声流量計，在英国还没有定型产品，而美国已能供应的超声流量計，用在比較低的流速方面，也还不見得成功。

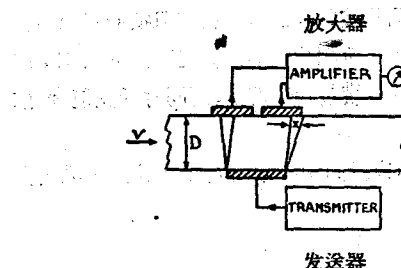


图1 被偏移的声束，随流动流体而漂移，因此，它被不均匀地分布在各个接收换能器之間

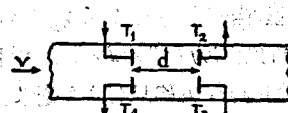
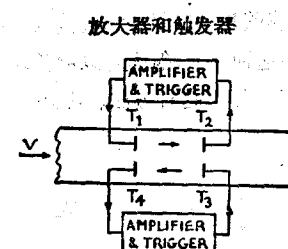


图2 这种系統系利用脉冲的逆流傳送和順流傳送之間的時間差別為設計基礎



放大器和触发器

图3 由于采用了自再生振蕩电路，这种仪器可不受流体中声速局部变化的影响

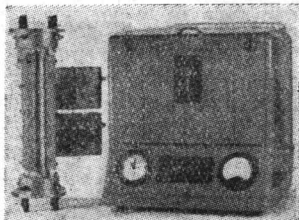


图 4 这种相位比較式流量計系利用逆流傳送和順流傳送的不同頻率為基礎，因此可以使这两个頻率同時產生。

声束偏移

超声流量計的工作原理很简单。已提出的有好几种不同的設計方案，其中一种如图 1 所示。这是一种最简单的系統，主要是利用液流使超声波束偏移。

設在管子一面的一只換能器，使适当的定向发射的声束通过流体，傳送到管子的另一面。在这里，声束冲击着两只接收換能器，使每只換能器都能在无流时接收到一份相等的能量。当液体流动时，波陣面即以声速 c 橫過管子傳播，而同时受流速 v 推向順流。

于是，声束就向順流方面偏移。声束末端的偏移量为：

$$X = D \frac{v}{c}$$

式中， D 为管的直徑。

在一支直徑約 4 吋、液体中的声速 c 約 1500 米/秒的水管里，当管中的水以 50 米/秒的流速流动时，声束末端的偏移为 0.33 厘米，而在最大流速只有 1.5 米/秒の場合，偏移只有 0.1 毫米。显然，在要求辨别 0.001 毫米偏移の場合中，这就不是精密测量的最好依据了。

关于这一点，只要使声束从斜对方向橫過管子发射，并經過管壁几次反射后而被接收，就可得到一些改善。采用这种方法，射程可以增长，因而总的偏移量可以提高。不过这种方法，只能适用于高速度的液流方面。

時間或相位差

图 2 所示的第二种系統利用的是流动流体中声傳播的速度差。如果拿一个脉冲激发換能器 T_1 ，則其超声脉冲将在經過声速和流速所确定的一段时间

后到达 T_2 。这个时间延迟是：

$$t_1 = \frac{d}{c+v}$$

其中， d 为 T_1 到 T_2 的距离。

在靜止流体中，过渡时间应为 $\frac{d}{c}$ ，但由于整个流体沿傳播方向移动，因此所需的时间較短。在这里，如果跟 t_1 比較，零流量时间 $\frac{d}{c}$ 作为一个預先确定的基准时间是不合式的，因为 c 不是稳定的量，而要依温度、压力和其他因数而定。

因此，这里采用了微分原理，把脉冲同时加在 T_1 和 T_3 上。加在 T_3 上的脉冲，以反流体的方向推進，并在时间

$$t_2 = \frac{d}{c-v}$$

之后到达 T_4 。因此，二个不同的到达时间之差为：

$$\Delta t = t_2 - t_1 = \frac{2dv}{c^2 - v^2} \approx \frac{2dv}{c^2}$$

在低流速下，由于 Δt 一般只有几分之一微秒，因此，这些脉冲可以用角频率为 $\omega = 2\pi f$ 和具有測得的相位差的連續訊号来代替。这就是：

$$\Delta\phi = \omega \Delta t = \frac{2\omega dv}{c^2}$$

在把各个数值插入式中时，我們还需要考慮另一个附加的参数 ω 。从相位測量的观点看，在最高的流速下， $\Delta\phi$ 应尽可能接近 360° ，也就是說， $\frac{\Delta\phi}{2\pi} \leq 1$ 。超过 360° ，就会产生模棱現象。在前面的 4 吋管子中，如声束是以 45° 角橫過液流的， d 就等于 $0.1/\cos 45^\circ$ 米，而分解在声束方向上的流速分量，则为 $1.5 \cos 45^\circ$ 米/秒。因此，相位差为：

$$\begin{aligned} \Delta\phi &= \omega \Delta t = \omega \frac{2 \times 0.1 \times 1.5 \times \cos 45^\circ}{1500^2 \cos 45^\circ} \\ &= \frac{1}{7.5} \times 10^{-6} \omega \\ \frac{\Delta\phi}{2\pi} &= \frac{1}{7.5} \times 10^{-6} f \end{aligned}$$

如果我們选定 f 值为 $5 \cdot 10^6$ ，則 $\frac{\Delta\phi}{2\pi} = 0.66$ ，这样，就可以有充份余地，避免相位的模棱現象。一只尺寸适中的換能器所发出的声束寬度應該要狭，象以上这样一个頻率，对这一要求并无矛盾。以上这一点，主要是为了避免超声能量向不必要的方向傳播，从而避免在两个換能器系統之間引起干扰。对一个圆形活塞式輻射器來說，其发散角为

$$\theta = 2 \sin^{-1} 0.61 \left(\frac{\lambda}{a} \right) = 2 \sin^{-1} 0.61 \left(\frac{c}{af} \right)$$

这里， a 为换能器的半径， λ 为流体中声的波长。例如 1 厘米直径的 5 兆赫换能器，声束的发散角约为 5° 。这已能完全令人满意了。

流体中的声衰减是与频率有关的另一个因素。在大多数流体中，射程短时，这种衰减现象在 5 兆赫下情况并不严重，但在少数流体中，则非常重要。在液浆和其他悬浮体中，由于散射的影响，可引起附加的声衰减。当粒子的尺寸跟所用频率的声波的波长差不多的时候，这种影响就值得重视。因此，通过衰减问题的考虑，也给人以启示：采用比较低的频率，有时也是必要的。

这种系统的另一个值得注意的特点是， $A\Phi$ 公式中有因数 $\frac{1}{c^2}$ 存在。由于 c 不恒定，因此对 c 的起伏不定，必需采取措施，进行补偿。

振荡回路

图 3 说明流量计方程式中消去 c 的方法。在这种系统中，换能器 T_1 所发出的一个脉冲，向 T_2 推进，并在这里为 T_2 所接收，经过放大，最后再用来触发 T_1 的另一个脉冲。

再触发的作用，实际上可以说同时发生的。因此能够在振荡回路的周围建立起一连串的脉冲。同时，在 T_3-T_4 回路中，也产生一个相同的振荡，但其在流体中的传递，则以相反的方向进行。

与前面所说的一样，顺流方向中的过渡时间为：

$$t_1 = \frac{d}{c+v}$$

这就是接连的两个脉冲之间的间隔，这些脉冲按照以下频率重复：

$$f_1 = \frac{1}{t_1} = \frac{c+v}{d}$$

逆流脉冲的重复频率为：

$$f_2 = \frac{1}{t_2} = \frac{c-v}{d}$$

因此，拍频的求出并不复杂：

$$4f = f_1 - f_2 = \frac{2v}{d}$$

从上式可以看到，拍频与声速 c 无关。

在这里，让我们再来考虑一下一种带有对角射程的、额定流量跟以前一样的 4 英寸管子。这种管子，在无流时，回路频率为：

$$f_1 = f_2 = \frac{c}{d} \approx 10 \text{ 千赫}$$

在流速为 50 米/秒时，拍频为：

$$4f = \frac{2v}{d} = 500 \text{ 赫}$$

在流速为 1.5 米/秒时，则拍频减低到：

$$4f = 15 \text{ 赫}$$

虽然，在低刻度读数下，所需的时间常数可能比较长些，但作为满量输出来说，这还是可以采用的一个数值。如果在各个振荡器之间存在着耦合，则这些振荡器会产生彼此曳调现象，这一点是一个有力的障碍。为了减轻电耦合，可以采取各种适当的措施，但是从本文下一段可以看到，要防止声耦合却不是这样容易。因此，振荡器的曳调现象确是一个问题。

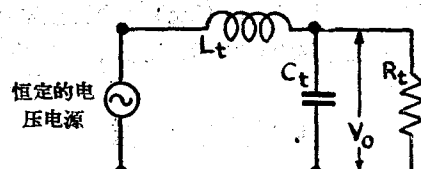


图 5 声束偏移式装置的自调正特性，详示在这种装置的换能器等效电路中（如图）：声阻抗与流体的密度成比例

C 的局部变化

到这里为止，我们一直假定每对换能器之间的传播条件是相同的。现在让我们假定情况不是这样，而是在一个射程中的声速为 c ，在另一个射程中的声速为 $c+4c$ 。这样，过渡时间就变成：

$$t_1 = \frac{d}{c+4c+v} \text{ 和 } t_2 = \frac{d}{c-v}$$

根据上式，则相位差为：

$$4\Phi = \frac{2\pi d}{c} \left(\frac{v}{c} + \frac{1}{2} \frac{4c}{c} \right)$$

在 1.5 米/秒的更低的流速下， $\frac{v}{c}$ 为 10^{-5} ，而在误差为 0.5% 时， $\frac{4c}{c}$ 必须不超过 10^{-5} 。经验表明，在管道间隙相当紧密的各个区域里，都可能存在比以上数值大得多的分歧。

因此可以断言，根据两个独立的射程设计的流量计天生地易于引起误差。如果把这两个射程安排得近一些，就可以使 c 值的分歧程度减低，但另一方面又会增大在逆流和顺流的两个讯号之间发生交叉耦合的危险。因此，对这两个讯号，采用单射程方式，才是真正的解决方法。

目前已经设计了应用这种原理的各种流量计。但其讯号是首先按一个方向传递，然后再按另一个方向传递的。这样的解决还不能完全使人满意。除

非換向的动作能用很高的速度进行,否则,在隨后的复杂情况下,流体将会在接連的傳送之間,向前移动,这样也就不能在这两种情况中的換能器之間找到相同的流体試样。

基本上,在这里有必要同时按逆流和順流的方向,在单独的一对換能器之間傳送訊号。

只要在逆流和順流射程上采用不同的頻率,就可以实现以上要求。要在不同頻率的訊号之間进行相位的直接比較,当然不能办到,但要消除这种困难,也还可以找到一些其他的方法,图 4 所示的就是按照这种原理設計的一种比相流量計。

这种流量計,不同于低流速用的双射程式流量計,它能不受漂移的影响,达到能令人满意的程度。

声速的补偿

在上述两种流量計里,声速 c 都出现在最后的表达式中,因此还需設法把这变数消去。这有两种可能的做法。第一,先測量 c 值,再計算改正值。第二,即設計一些自动补偿的方法。

只要測量单过渡的时间或相位迟延,就可以在低流速下导出声速 c 的近似值:

$$t_1 = \frac{d}{c+v} \approx \frac{d}{c} \quad \text{或} \quad \Phi_1 = \frac{d}{c}$$

同时,要获得更高的精确度,只要測量

$$t_1 + t_2 = \frac{d}{c^2 + v^2}$$

根据这一表达式,就可自动算出改正值。

声束偏移式流量計,应用一种简单的改正原理。这种原理的根据是換能器晶面上的声阻抗是与液体的声阻抗 ρC 值 (ρ 为液体的密度) 成比例这样一个事实。从图 5 可以看到,声阻抗看起来就是晶体电阻抗的一个組成部分。图中,声阻抗用 R_t 表示,而 C_t 为晶体电容。如图中所示,只要通过一个从恒定电压电源接来的調諧線圈 L_t ,使晶体激发,则跨接晶体的电压 V_0 与 R_t 成比例,因此也与 ρC 成比例。于是,檢波器的輸出为:

$$X \propto \frac{Dv}{c} \times \rho C \propto \rho Dv^*$$

这样,变数 c 就被消掉,而流量計也就变成一只质量流量計。

在相差式流量計里,我們可以这样安排,使在一定范围内, d 可以随 c^2 而改变,因而也可以从实质

上使 $\frac{d}{c^2}$ 恒定。于是

$$\Delta\Phi = 2\omega kv$$

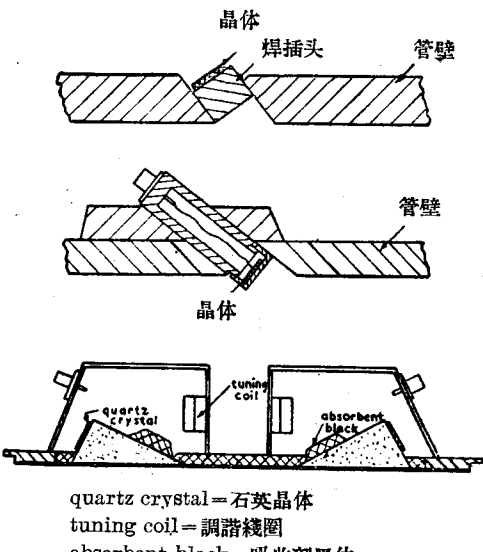


图 6 換能器裝管的一些安装方法:由于声束的过份折射,因此外装法不合实用

換能器

在一般情况下,要直接把換能器裝在管子的外壁上是不行的,因为折射会使声束横过管子的傳播角度受到限制。在裝水的鋼管里,这个角度,从管壁法綫算起,可能比 10° 略微大些。由于这原因,有必要在管壁中留下一个空腔,或嵌入一块适当的材料,如图 6 所示。只要細心選擇材料,并采用切变波式的晶体,就可以在設計換能器时,不必变更管内部的輪廓。流体的性质,以及系統所賴以进行工作的溫度和壓力,都会影响換能器的設計,不过如充份注意材料和技术的选择,要应付范围很广的种种要求,还是可以做到的。

液流条件的影响

大多数流量計在一定程度上都受液流条件的影响。橫过管子的速度分布,亦即流速的剖面,是与管的构形和雷諾数有关。在长的直管子里,流速的剖面在临界雷諾数以内近似于抛物綫。在湍流区里,剖面則比較近于平頂形状。經過許多弯头之后,流

* $\Delta U \approx D \cdot \frac{v}{c}$, 应为 $D \frac{v}{c} \times \rho C \approx \rho Dv = Q_0$ 。——审校者注